

II-3 波の包絡波形と非線形長周期変動について

北海道大学工学部 正員 淀中建一郎

1. まえがき

波群と長周期な水位変動は、逆位相（大きな波群に対する長周期水位変動の谷が対応する）の関係によるとか、Munk や Tucker により観測されて以来、数多くの研究がなされている。一方、非線形波動理論の研究から、これらの長周期変動は 2 次の非線形拘束波によるものであることが明らかにされってきた（例へば Longuet-Higgins & Stewart, 1962）。しかし、これらの理論的研究多くは、單に乙成分波によるビート発生時にかかるか、離散スペクトルを持った波の代数波の Radiation stress の変化を考慮した KPB らによるものである。本研究は、連続スペクトルを持たない波に対する包絡波形と非線形長周期水位変動の関係を調べたものである。初めに、ヒルベルト変換を用いた包絡線の定義⁽²⁾を述べ、直感的理説のための説明を加える。次にその包絡線の定義を用いて、エネルギー包絡線のスペクトル表現とパワースペクトルを、表面波のスペクトルおよびパワースペクトルを用いて表わす。包絡線そのもののスペクトルは、包絡線がガウス過程であるという仮定のもとに導いた。

最後に、連続スペクトルを持った不規則波の包絡線と非線形拘束波の相互関係を調べた。これらは共に不規則性変動するものであることを示し、二者の間のコヒーレンシーとフェイズを導いた。それらに対する簡単な数値的評価から、方手くとも低周波成分においてはエネルギー包絡線と 2 次拘束波は逆位相にあることが確かめられた。

2. 包絡線の定義と直感的理説

水面波形 η を走常確率過程とみなしることにより、以下のスペクトル表現が与えられる。

$$\eta(x, t) = \int B(k) e^{ikx} dk \quad (1)$$

ここで $B(k)$ は確率振幅スペクトル、 k を波数、 w を周波数として、 $k = (k, w)$ 、 $x = kx - wt$ 。

これに対し、新しい振幅スペクトル $\hat{B}(k)$ を導入する

$$\begin{aligned} \hat{B}(k) &= B(k), \quad k \geq 0 \\ \hat{B}(k) &= -B(k), \quad k < 0 \end{aligned} \quad \} \quad (2)$$

この $\hat{B}(k)$ によって新しい確率過程 $\hat{\eta}$ を構成する。

$$\hat{\eta}(x, t) = \int \hat{B}(k) e^{ikx} dk \quad (3)$$

このとき、 $\hat{\eta}$ を η のヒルベルト変換と呼ぶ。⁽²⁾

η の包絡線 R は次の様に定義される⁽²⁾。

$$R^2 = |\hat{\eta}|^2, \quad \hat{\eta} = \eta + i\hat{\eta} \quad (4)$$

次に、この定義によると包絡線をより直感的に理解するためには、 η と $\hat{\eta}$ の間の関係を調べる。これが実数値をとることから、 B の実部は K に対して偶関数、 B の虚部は奇関数である。 $B = B_R + iB_I$ 、 $\hat{B} = \hat{B}_R + i\hat{B}_I$ として、

$$\eta = 2 \int_{K>0} B_R \cos x dk - 2 \int_{K>0} B_I \sin x dk \quad (5)$$

$$\hat{\eta} = \int_{K>0} \{ \hat{B}_R(k) + i\hat{B}_I(k) \} \{ \cos x + i \sin x \} dk$$

$$+ \int_{K>0} \{ \hat{B}_R(-k) + i\hat{B}_I(-k) \} \{ \cos x - i \sin x \} dk$$

$$= 2i \int_{K>0} B_R(k) \sin x dk + 2i \int_{K>0} B_I(k) \cos x dk \quad (6)$$

すなわち、ある振幅スペクトルに対し、 η は $\cos x$ が $i\hat{\eta}$ には $\sin x$ で、 $\sin x$ が $-\cos x$ に変換される。次に簡単のために、時間軸上の 3 成分振動を考える。

$$\eta = a_1 \cos \omega_1 t + a_2 \cos \omega_2 t - a_3 \sin \omega_3 t$$

これに対するヒルベルト変換は

$$i\hat{\eta} = i a_1 \sin \omega_1 t + i a_2 \sin \omega_2 t + i a_3 \cos \omega_3 t$$

である。

$$\hat{\eta} = \eta + i\hat{\eta} = a_1 e^{i\omega_1 t} + a_2 e^{i\omega_2 t} + i a_3 e^{i\omega_3 t}$$

図 1 はこれらの関係を圖示したものである。この図から、実軸上の振動がヒルベルト変換を加えたときにより、複素平面上の回転ベクトル $\hat{\eta}$ に変換し、包絡線をもと全体の振幅として定義している様子が分る。

同時に、 $\omega_1 \approx \omega_2 \approx \omega_3$ のときは、我々が持つ包絡線イメージ（一致するであろうこと）も分る。

3. エネルギー包絡線のスペクトル

(2) を用いて複素回転ベクトル $\tilde{\eta}$ を整理すると

$$\tilde{\eta} = \int D(K) e^{iX} dK \quad (7)$$

$$\begin{aligned} D(K) &= B(K) + \hat{B}(K) \\ &= \begin{cases} 2B(K), & K \geq 0 \\ 0, & K < 0 \end{cases} \end{aligned} \quad (8)$$

一方

$$\begin{aligned} R^2 &= |\tilde{\eta}|^2 = \int D(K_2) e^{iX_2} dK_2 \int D^*(K_1) e^{-iX_1} dK_1 \\ &= \iint_{K_1 K_2} D(K_2) D^*(K_1) e^{i(X_2 - X_1)} dK_1 dK_2 \end{aligned} \quad (9)$$

ここで * は共役複素数を示す

$$K = K_2 - K_1, \quad X = X_2 - X_1 \quad \text{とすると}$$

$$\begin{aligned} R^2 &= \iint_{K_1 K_2} D(K+K_1) D^*(K_1) e^{iX} dK dK_1 \\ &= \int_K \left\{ \int_{K_1} D(K+K_1) D^*(K_1) dK_1 \right\} e^{iX} dK \end{aligned} \quad (10)$$

従って

$$E_D(K) = \int_{K_1} D(K+K_1) D^*(K_1) dK_1 \quad (11)$$

が、エネルギー包絡線の振幅スペクトルを表わす。

次にエネルギー包絡線のパワースペクトル $\Psi_D(K)$ を求めろ。そのために、このパワースペクトル $P(K)$ とすると。左下から

$$P(K) = \langle B(K) B(-K) \rangle \quad (12)$$

左下 $\langle \cdot \rangle$ はアンサンブル平均を表わす。

これら (8) より

$$\Psi_D(K) = \langle D(K) D^*(K) \rangle = \begin{cases} 4P(K), & K \geq 0 \\ 0, & K < 0 \end{cases} \quad (13)$$

としてみると、表面波形に対しよく用いられる準ガウス過程（線形波の振幅はガウス分布）の仮定から

$$\begin{aligned} \Psi_D(K) &= \langle E_D(K) E_D(-K) \rangle \\ &= \iint_{K_1 K_2} \langle D(K+K_1) D^*(K_1) D(-K+K_2) D^*(K_2) \rangle dK_1 dK_2 \\ &= \iint \langle D(K+K_1) D^*(K_1) \rangle \langle D(-K+K_2) D^*(K_2) \rangle dK_1 dK_2 \\ &\quad + \iint \langle D(K+K_1) D(-K+K_2) \rangle \langle D^*(K_1) D^*(K_2) \rangle dK_1 dK_2 \\ &\quad + \iint \langle D(K+K_1) D^*(K_2) \rangle \langle D^*(K_1) D(-K+K_2) \rangle dK_1 dK_2 \end{aligned}$$

(13) の Ψ_D を用いて

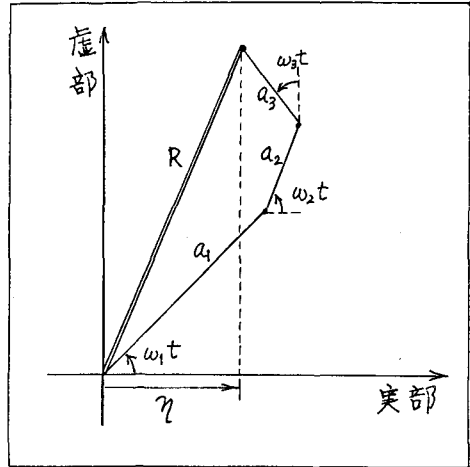


図1 包絡線の概念図

$$\begin{cases} \iint_{K_1 K_2} \Psi_D(K_1) \Psi_D(K_2) dK_1 dK_2, & K = 0 \\ 2 \int_K \Psi_D(K+K_1) \Psi_D(K_1) dK_1, & K \neq 0 \end{cases} \quad (14)$$

これにより、エネルギー包絡線のパワースペクトルが (13) を通じて表面変動のパワースペクトルで表現される。

4. 包絡線のスペクトル

この節では、包絡線そのものの振幅スペクトル及びパワースペクトルを考察する。

$$R = \sqrt{|\tilde{\eta}|^2} = \int_K A(K) e^{iX} dK \quad (15)$$

と書かれたとき

$$\begin{aligned} R^2 &= \int_K \left\{ \int_{K_1 K_2} A(K+K_1) A^*(K_1) dK_1 \right\} e^{iX} dK \\ &= \int_K E_A(K) e^{iX} dK \end{aligned} \quad (16)$$

(10) と比較して

$$\int_K A(K+K_1) A^*(K_1) dK_1 = \int_{K_1 K_2} D(K+K_1) D^*(K_1) dK_1 \quad (17)$$

この (17) から原理的には $A(K)$ は $D(K)$ に比例関係にあることが分る。しかし実際には A を D に比例するとは非常に困難である。

ここでは、 R そのものがガウス過程、すなわち A がガウス分布をもつと仮定し、以下解析を進める。

(17) を書き直して

$$E_A(K) = E_D(K) \quad (18)$$

$A(K)K$ よりパワースペクトルを、 $\bar{A}_A(K)$ と書いて

$$\bar{A}_A(K) = \langle A(K)A(-K) \rangle$$

(18) の両辺のパワースペクトルを求めると、前節と同様にして

$$\bar{A}_A(K) = \langle E_A(K)E_A(-K) \rangle$$

$$= \begin{cases} \int_{K_1 K_2} \bar{A}_A(K_1) \bar{A}_A(K_2) dK_1 dK_2, & K=0 \\ 2 \int \bar{A}_A(K+K_1) \bar{A}_A(K_1) dK_1, & K \neq 0 \end{cases} \quad (19)$$

定常項($K=0$)は既に(14)によって決定されていきから振動項だけを考えると(18)から

$$\int_{K_1} \bar{A}_A(K+K_1) \bar{A}_A(K_1) dK_1 = \int_{K_1} \bar{A}_D(K+K_1) \bar{A}_D(K_1) dK_1 \quad (20)$$

(20) の両辺のFourier変換をとると

$$\begin{aligned} & \int_{K_1} \int_{K_1} \bar{A}_A(K+K_1) \bar{A}_A(K_1) e^{iX} dK dK_1 \\ &= \int_{K_1} \int_{K_1} \bar{A}_D(K+K_1) \bar{A}_D(K_1) e^{iX} dK dK_1 \end{aligned}$$

変形して

$$\begin{aligned} & \int_K \bar{A}_A(K+K_1) e^{i(X+X_1)} dK \int_{K_1} \bar{A}_A(K_1) e^{-iX_1} dK_1 \\ &= \int_K \bar{A}_D(K+K_1) e^{i(X+X_1)} dK \int_{K_1} \bar{A}_D(K_1) e^{-iX_1} dK_1 \end{aligned} \quad (21)$$

$Z=(x,t)$ として、共分散関数を

$$\left. \begin{aligned} C_A(z) &= \int_K \bar{A}_A(K) e^{ix} dK \\ C_D(z) &= \int_K \bar{A}_D(K) e^{ix} dK \end{aligned} \right\} \quad (22)$$

と(2)を差すと、(21)は

$$C_A(z) C_A^*(z) = C_D(z) C_D^*(z) \quad (23)$$

一方、 $\bar{A}_A(K)$ は K に関する偶実数だから、 C_A は実関数、従って $C_A(z) = C_A^*(z)$

($\bar{A}_D(K)$ は $K \geq 0$ の奇値を持つから $C_D(z) \neq C_D^*(z)$)

(23) は

$$C_A^2(K) = C_D(z) C_D^*(z)$$

$$\therefore \bar{A}_A(K) = \frac{1}{2\pi} \int_z C_A(z) e^{-iz} dz$$

$$= \frac{1}{2\pi} \int_z \sqrt{C_D(z) C_D^*(z)} e^{-iz} dz \quad (24)$$

(24) によって包絡線のパワースペクトルが振幅 $D(K)$ によって表わされ、結局、(8) を通じて表面波形の振幅 $B(K)$ によって表わされることになる。又、振幅 $A(K)$ がガウス分布であると仮定したが、もしこの仮定が正しいなら、(24) によってパワースペクトルが定まることになり、包絡線そのものも確率過程として定まるということになる。

5. エネルギー包絡線と長周期拘束波

エネルギー包絡線が大きいとき、すなわち、大きな波群のところでは平均水位が下がることは、既に良く知られている。それが、2次拘束波の長周期成分に起因することは、2次規則波によつて簡単に確かめられる。しかし、連続スペクトルを持たない規則波ではどうであるかは、あまり良く調べられていない。

この節では、連続スペクトルを持たない規則波について、波群と長周期水位変動の関係を調べるために、エネルギー包絡線と2次拘束波間のコヒーレンシーとフェーズを調べる。

2次拘束波⁽³⁾

$$\begin{aligned} f^{(2)} &= \int_{K_1 K_2} \frac{f_2(K_1 K_2)}{f_3(K)} B(K+K_1) B^*(K_1) e^{iX} dK dK_1 \\ &\equiv \int_K E_B(K) e^{iX} dK \end{aligned} \quad (25)$$

ただし

$$\begin{aligned} f_2(K_1 K_2) &= \frac{1}{2} \left[\left\{ \omega^2 + \omega \omega_1 + \omega_1^2 - \frac{\omega_1(K+K_1)}{\omega_1(\omega+\omega_1)} \right\} k \tanh kh \right. \\ &\quad \left. - \omega k \cdot \left(\frac{K+K_1}{\omega+\omega_1} - \frac{\omega_1}{\omega_1} \right) \right] \end{aligned} \quad (26)$$

$$f_3(K) = k \tanh kh - \omega^2 \quad (27)$$

さら K B は線形波のスペクトルであるから

$$\left. \begin{aligned} \omega^2 &= k_1 \tanh k_1 h, \quad k_1 = lk_1 \\ (\omega+\omega_1)^2 &= lk+K_1 \tanh lk+k_1/h \end{aligned} \right\} \quad (28)$$

(10) K またはエネルギー包絡線 R^2 と(25) K または $\tilde{R}^{(2)}$ の間のクロススペクトルを重ねると

$$\bar{A}_{DZ} = \langle E_B(K) E_D(-K) \rangle$$

$$\begin{aligned}
&= \iint_{K_1, K_2} \frac{f_2(K, K_1)}{f_3(K)} \langle B(K+K_1) B^*(K_1) \\
&\quad \times D(-K+K_2) D^*(K_2) \rangle dK_1 dK_2 \\
&= 4 \int_{K_1} \frac{f_2(K, K_1)}{f_3(K)} P(K+K_1) P(K_1) dK_1 \quad (29)
\end{aligned}$$

たゞし、 K_1 の積分範囲は

$$\begin{aligned}
K \geq 0 &\text{ なら } K_1 \leq -K \text{ と } 0 \leq K_1 \\
K < 0 &\text{ なら } K_1 \leq 0 \text{ と } -K \leq K_1
\end{aligned}$$

$\chi^{(2)}$ のパワースペクトルを $\Psi_\eta(K)$ とすと

$$\begin{aligned}
\Psi_\eta(K) &= \langle E_B(K) E_B(-K) \rangle \\
&= \int_{K_1, K_2} \frac{f_2(K, K_1)}{f_3(K)} \frac{f_2(-K, K_2)}{f_3(-K)} \langle B(K+K_1) B^*(K_1) \\
&\quad \times B(-K+K_2) B^*(K_2) \rangle dK_1 dK_2 \\
&= 2 \int_{K_1} \left\{ \frac{f_2(K, K_1)}{f_3(K)} \right\}^2 P(K+K_1) P(K_1) dK_1 \quad (30)
\end{aligned}$$

(14), (29), (30) から、 R^2 と $\chi^{(2)}$ とのコヒーレンシーは

$$Coh^2(K) = \frac{|\Psi_\eta(K)|^2}{\Psi_\eta(K) \Psi_\eta(K)} \quad (31)$$

フェイズは

$$\theta_{Dg}(K) = \tan^{-1} \left[\Im \{ \Psi_{Dg}(K) \} / \Re \{ \Psi_{Dg}(K) \} \right] \quad (32)$$

たゞし、 $\Im \{ \cdot \}$ と $\Re \{ \cdot \}$ は各々、虚部・実部を表わす。さて、(29) から分子のように Ψ_{Dg} は実数であり、虚部は持たない。従ってフェイズ

は $\theta_{Dg} = 0 \times 1/2 \pi$ である。図2、図3 は (29) の核関数 $f_2(K, K_1)/f_3(K)$ の負号を行くものである。 $w = 0.05, 0.1, 0.2$ を固定し、 w_1 の関数として表わしたものである。又、図示されていないが、 w_1 の負の領域でも核関数は図2、図3 と同様、主要部は負値をとることが確かめられる。これらの核関数の性質から、少しきとも $w = 0$ の近くではクロススペクトルは負値となり、従ってフェイズは $\theta_{Dg} = \pi$ となる。逆に相とうことが分る。又、

コヒーレンシーも、 $w = 0$ の近くで最大値をとる。されど、線形関係は近づくことが分る。

6. あとがき

ヒルベルト変換を用いた包絡線の定義を用いて、包絡線及びエネルギー包絡線のスペクトルを、表面変動のスペクトルを用いて表現した。又、エネルギー包絡線と2次長周期拘束波とのコヒーレンシーとフェイズを導いた。これらを用いて、波群及び長周期水位変動のさらに詳細な性質を調べることは今後の課題である。又、包絡線のスペクトル表現に対するガウス過程であることを仮定したが、証明が必要であろう。

参考文献

- (1) Longuet-Higgins, M.S. & Stewart, R.W., Radiation stress and mass transport in gravity waves, with application to "surf beat", J. Fluid Mech. 13, 481-504, 1962
- (2) Cramér, H. & Leadbetter, M.R., Stationary and Related Stochastic Process, John Wiley & Sons, 1967
- (3) 渡中建一郎・佐藤典之, 不規則波の非線形変形について, 第3回海岸工学講演会, 138-142, 1984

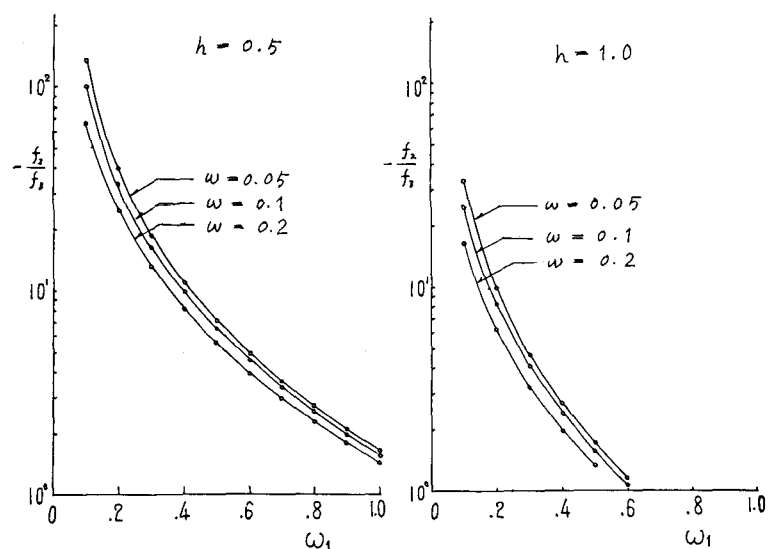


図2 核関数 $-f_2/f_3$

図3 核関数 $-f_2/f_3$